

(1) グラウトスラリーの高分散化／高浸透性のための 角砕石と分散剤添加の方法

日本基礎技術株
西松建設技術研究所
電気化学工業株

○寺戸 康隆
松井 健一
原田 耕司
小菅 啓一

Method of making Colloidal grout slurries with high dispersibility and permeability
by means of circulation mixing & grinding accompanied with addition of dispersing agents

Yasutaka TERADO, Japan Foundation Engineering Co., Ltd.
Kenichi MATSUI, Nishimatsu Construction Co., Ltd.
Koji HARADA Nishimatsu Construction Co., Ltd.
Keiichi KOSUGE, Denki Kagaku Kogyo Kabushiki Kaisha

Abstract

Today, there is a constant need for high grade permeable suspension grouts with long term durability which can be applied for soil injection and rock foundation grouting, in case of construction of the deep underground space, water front region etc.. High permeability of the grouts through pores of the foundation actually means high dispersibility of the grout slurry.

Both physical or mechanical dispersion method i.e. means of using mixers and chemical dispersion method i.e. means of adding dispersing agents are very important to make the grout slurries to highly dispersed ones. Usually the Concrete high speed mixers operating at 1500 to 2000 r.p.m. are used for high dispersion of cement grouts. But, high dispersion by this method is insufficient against such suspension slurries as clay, slaked lime, silica fume and other micro materials which have lots of micro grains with submicron size. Such slurries made up by that method cannot permeate through voids of the particles of the soil, for aggregation forces among submicron grains of the grout materials become very strong and abundant aggregation grains with far more large grain size than initial ones are built. The most adequate dispersion method of the above mentioned slurries including submicron grains is to use grinding device or mill together with steel or ceramic balls, accompanied with adding dispersing agents mainly due to decreasing the viscosity of the dispersed slurries.

Authors have been studied mixing and grinding methods in the process of development of a new high grade permeable suspension grout which is composed of silica fume and slaked lime, and succeeded in a very permeable non-cement suspension grout with long term which is called "SILICA LIME". According to the experiments, it appeared that permeability depended on groutability ratio regarding the size of formation particles and the grout grains (not initial grains but slurry aggregation grains).

1. まえがき

今日、ジオフロント、ウォーターフロント等の開発のために地盤・岩盤注入におけるグラウト材に長期耐

久性の高浸透性懸濁型グラウトが希求されている。高浸透性はグラウトスラリーの高分散化と相通じる。

従来、グラウトスラリーの分散化のための混合攪拌方法は物理的・機械的分散方法としてミキサーが、化学的分散方法として分散剤の添加が併用されたきた。ミキサーは攪拌効率向上のため従来型の低・中速(150～600rpm)のパドルミキサーから最近の中央プラント内蔵の渦流・せん断力型高速のコロイダルミキサー(1500rpm以上)までが使用され、分散剤は一部で高性能分散剤が使用されている。

しかし、 $1\text{ }\mu\text{m}$ 未満のサブミクロン大の微粒子材料およびこれを含む材料を混合攪拌する場合、比表面積が著しく大きいこと等による粒子間の強い凝集力の発生により、スラリー中に粗大な凝集粒子(粒径は20～50 μm オーダー)が形成され、これが土粒子間や亀裂間隙への浸透を阻害するため微粒子材の一次粒子径のグラウタビリティ比から想定される浸透性は確保されない結果となる。この場合、たとえコロイダルミキサーで混合攪拌してもこの粗大な凝集粒子をもとの微粒の粒子径オーダーまで分散(すなわち解碎)することは難しい。もちろん、分散剤による化学的分散だけでは凝集力に抗すすべもない。そのため、浸透性に優れた超微粒子セメントは工場での分級過程で $1\text{ }\mu\text{m}$ 未満の粒子はカットされており、これによって通常のパドルミキサーによる混合攪拌でも容易にスラリーの粒度分布は $1\sim10\text{ }\mu\text{m}$ 間におさまり、高浸透性がもたらされている。この際の粒度調整が普通セメントの10倍に近い材料コストをもたらしている。

一方、従来のセメントグラウトの注入プロセスの中に湿式細粒化装置を組み込むことにより、普通セメントグラウト(配合:W/C=1～2.28, 5～90 μm , 平均粒径20 μm)を0.5～15 μm (平均粒径2～3 μm)オーダーの微粒で懸濁性の良いスラリーを製造し、軟岩の微小亀裂や砂礫層中の細砂層に注入してルジオン値を5Lu以下限界圧力を0.5kgf/cm²以上まで改良したダムの基礎処理例がある^{1), 2), 3)}。これらの例では、グラウトの混合攪拌工程に粉碎機(ミル)を導入したことに大きな特徴がある。また、粉碎および解碎・分散化のために媒体としてスチールビーズ(カットワイヤー)、ガラス玉などのボールを使用していることも大きな特徴である。

注入の分野では粉碎あるいは解碎の技術は必ずしも一般的でないが、粉体工業の分野では汎用的であり、均一な超微粒の塗料、顔料、染料、薬品、電子工業用セラミックス等の製造上必須の技術となっている⁴⁾。

筆者らは長期耐久的高浸透性懸濁型グラウトとして、超微粒非晶質シリカであるシリカフュームに着目しこれに反応材として元来微粒子である消石灰を混合し、高分散化の方法に解碎システムを選びこれに適性分散剤を併用することによって、非セメント系無機質長期安定性の高分散化低粘性超微粒子グラウトスラリーの製造法および注入方法を開発した。このグラウトをシリカライムと称している。この材料の開発に伴う実験によって上述の微粒子スラリーの解碎方法と砂地盤への浸透性の関係について知見を得たので、その一端をここに報告する。

2. 解碎による微粒子スラリーの高分散化

図-1はダム基礎グラウチング技術の変遷の概要を示したものである。グラウトスラリーの物理的あるいは機械的分散を図る混合攪拌設備については、ヨーロッパおよび英連邦諸国では古くから(30数年以前から)1500rpm以上の高速回転のいわゆるコロイダルミキサーが分散プラントでも使用されていた。反面、日本では比較的最近になって中央プラント方式では混合プラントに英国から直輸入したコルクリートミキサー(コロイダルミキサー)が内蔵されるようになり、中央プラント方式を採用する現場ではこれによってグラウトスラリーの効率的な混合攪拌が行えるようになった。しかし、分散プラントでは依然として低・中速(150～600rpm)のパドルミキサーが使用されているのが現実である。一方、前述したように特に電源開発(株)のダム現場では1980年代後半から特殊ミル(マイクロミル)をミキシングプラントに組み込み、高分散化によってもたらされた懸濁性が良く浸透性の良い微粒子セメントスラリーを注入してきている。

これらの例は普通セメントを粉碎することにあるが、筆者らが開発研究してきた材料は一次粒子はもともと(超)微粒であるが、スラリーにすると凝集力によって粗大な凝集粒子ができるため、粉碎でなく解碎す

ることによってグラウタビリティの上でより適切な微粒のスラリーを作成することにある。

このための解碎方法については粉体工業の分野で行われている方法^{4), 5)} を参考にして当該材料に適した解碎および分散剤添加の仕方を見出した。

使用する解碎機あるいは分散機の構造は粉碎機（ミル）と同様であるが、目的が解碎にあるので適用上の仕様に違いがある。

図-2は解碎・分散機による解碎時間とスラリーの粒径の模式的関係を示す。

解碎はスラリー中の凝集した粒子を粉碎エネルギーで解きほぐし一次粒子に近い粒径まで分散させることにあり、凝集粒子の細粒化あるいは分散化は媒体（メディア）となるボールの材質、使用量および粒径、攪拌機の型式、回転数および攪拌時間等に依存する。ボールの材質は鋼球、ガラス玉セラミックボール等があり、分

分散能力だけでみると質量の大きい鋼球が最も優れている。ボール径は目標とする分散粒径に近い径のものを使用するのが分散化能力が高い。攪拌時間は長いほど分散化能力が高く粒径の偏差も小さくなる。ただし分散化・微粒子化が進むと粘性が増すので攪拌に支障がない程度でできるだけ少量の分散剤を添加する。

上記ファクターの組み合わせによって所要の粒径と粒度分布が確保される。

3. シリカライムの浸透性および注入試験

シリカライムは前述したように、筆者らが開発してきた超微粒のシリカフュームと元来微粒子である消石灰を混合し、解碎と分散剤併用技術により高浸透性化した非セメント系無機質長期安定性の高分散化低粘性超微粒子グラウトスラリーである⁶⁾。

同材料は元来微粒であるためスラリー中の粒子の凝集が避けられず、これが浸透性を阻害するため、凝集粒子の分散化が混合攪拌上の大きな課題であった。結局、高度の分散化をはかるためには現況の汎用システムでは最適とされる（超）高速のコロイダルミキサーでは不十分で解碎方式に依らざるを得なかった。

試験では標準砂等の模型地盤へのグラウトの浸透および注入試験を行い、使用したスラリーの物性（液温、密度、フロー値、粘性、ブリージング）および粒度分布の関係を把握した。

図-3は注入試験装置であり、事前に模型地盤（Φ300mm、高さ400mmと200mm）

図-1 岩盤注入の技術の変遷の概要

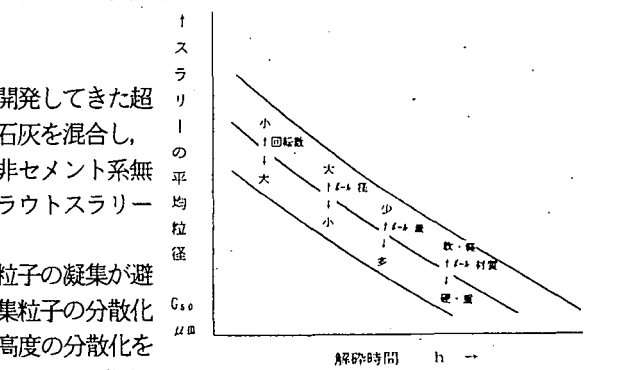


図-2 解碎によるスラリー粒径と各種の要素の関係

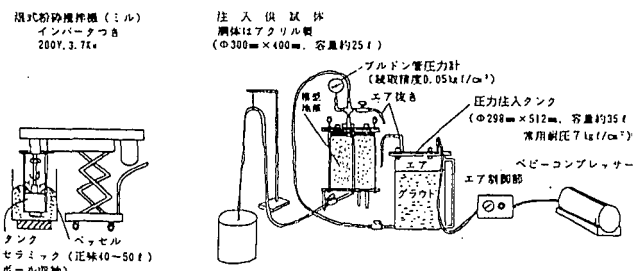


圖-3 注 入 試 驗 裝 置

の乾燥密度、水締めしたのちの間隙率と相対密度を測定したのち透水試験を行い透水係数と限界圧力を求めた。引き続き同一ラインで限界圧力内での注入試験を行った。注入は全断面の静的加圧方式とした。下方加圧と上方加圧の両方を行った。上方加圧の場合はアップリフトが働き、より低圧の注入となった。

一方、図-4に示すような装置で流下方式によりグラウトの浸透性を測定した。

これは現場でも簡単に測定でき、浸透速度とグラウトスラリーの粒度分布との相関をつかんでおけば、粒度分析装置がなくてもグラウタビリティ比から平均粒径が推定できる。この装置では速度水頭が働くため、厳密な透水係数は求められないが、位置水頭を一定にしておくことで横並びはできる。使用した注入材料および模型地盤の粒度分布を図-5に示す。微粒の材料は一次粒子の粒度を示す。解碎に当たってはA剤とB剤の一部を前添加し、解碎後は粘性を低下させるため残りのB剤を後添加した。表-1は解碎した各種スラリーについてのΦ50mmの豊浦標準砂模型地盤の浸透性試験結果を示す。解碎機は三井鉱山のハンディミルHM-5(5.5kw、処理量40l)を使用した(図-6)。回転数は900rpm、解碎ボールはΦ3mmのハイアルミニナボールを7.7kg(3.5l)

仕様した。

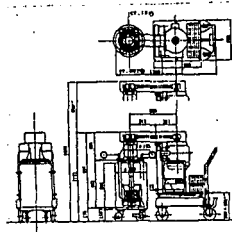


図-6 三井鉱山製ハンディミル

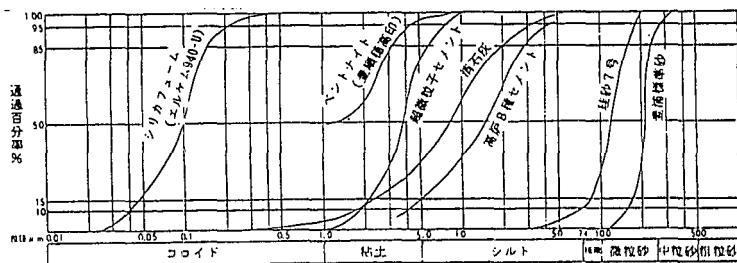


図-5 注入材料および模型地盤の粒度分布

結果をみると、配合を濃くする場合、同様の浸透性を確保するには解碎時間がより長くなること、浸透性には主に粒径と粘性が関係し、平均粒径(D_{50})が $7.0\text{ }\mu\text{m}$ 程度以下で、かつ粘性が 6.0 cP 程度以下にあればスラリーが供試体を完全に通過することが分かる。

表-2はΦ300mmの標準砂模型地盤に対するシリカライトの注入試験結果である。今回は上方加圧方式をとっている。透水試験の有効注入圧力は 0.05 kgf/cm^2 とした。最初の予備試験では 0.1 kgf/cm^2 (動水勾配*i*=5.6)以上かけると地盤の浮き上がり傾向にあったので、これ以下に抑えた。グラウトの有効注入圧力は 0.2 kgf/cm^2 で行い、全断面の浸透が

果たされた。間隙率は40%前後にあり、Φ50mmの浸透性試験の時よりも締まった状態にあった。グラウト到達時点の累計注入量は間隙率をグラウトスラリーが置換した量に匹敵した(ブリージング率は水比300%が0%水比200%が6.7%であった)。試験に供したスラリーの粘性(B型回転粘度計)は 5.5 cP と 6.0 cP 、平均粒径(D_{50})は $6.3\text{ }\mu\text{m}$ と $6.8\text{ }\mu\text{m}$ であった。

以上の結果から、解碎機と分散剤の併用により砂地盤への高浸透が図れる高分散化低粘性超微粒子グラウトスラリーの製造およびこのスラリーの注入が実現されたが、ストックしないで連続して製造したスラリー

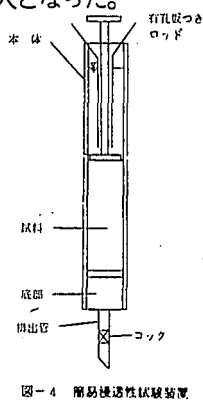


図-4 簡易浸透性試験装置

表-1 シリカライトの浸透性(模型地盤:Φ50mmの標準砂、解碎機:HM-5型)

ケース	水比 <i>W</i> %	解碎 時間 L 分	スラリーの物理性 密度 g/cc 粘性 cP 粒径 μm	水の浸透性		スラリーの浸透性 時間 分-秒		
				時間 分-秒	浸透速度 v cm/s			
1	300	10	1.16 10.6	6.85	$2 \cdot 04$	$6.7 \cdot 10^{-2}$	-	17 %
2	300	30	1.16 5.5	6.30	$1 \cdot 56$	$7.5 \cdot 10^{-2}$	$1 \cdot 07$	100 %
3	200	30	1.23 -	7.71	$1 \cdot 39$	$8.8 \cdot 10^{-2}$	$1 \cdot 19$	100 %
4	200	30	1.23 6.4	7.84	$2 \cdot 06$	$6.9 \cdot 10^{-2}$	-	80 %
5	200	45	1.23 6.0	6.82	$2 \cdot 03$	$7.1 \cdot 10^{-2}$	$3 \cdot 28$	100 %
6	100	10	1.37 -	10.69	$2 \cdot 10$	$6.7 \cdot 10^{-2}$	-	0 %
7	100	30	1.37 -	8.49	$2 \cdot 09$	$6.7 \cdot 10^{-2}$	-	40 %
8	100	60	1.37 -	6.74	$2 \cdot 02$	$7.1 \cdot 10^{-2}$	-	100 %
コルクート	300	60	1.16 回転数1720 rpm	-	$1 \cdot 30$	$9.7 \cdot 10^{-2}$	-	11 %
ミキサー								

(備考)

[解碎機] 三井鉱山HM-5型(5.5kw, 900rpm, ボリュームフローΦ30=7.7kg)

[混合方式] 横方向同時混合(混合比)シリカゲル SF:消石灰CH=1:1, (水比) W/(SF+CH)

[分散剤] 前添加:A剤 0.25%, B剤 2.0%, 後添加:B剤 2.0%。ただし、B剤の前添加は

[模型地盤] 豊浦標準砂:乾燥密度 $\gamma_d = 1.46\text{ g/cm}^3$ 、間隙率 $n=45\%$ 、相対密度 $D_r=0.45$

試料重量:250g、試料高さ:6.7cm

を地盤にどの程度の流量で連続して注入できるかどうかが現場に適用する場合のポイントである。

表-3は実機レベルの解碎機として連続供給が可能な三井鉱山のVM-5型(22kw)を使用して製造したシリカラライムの浸透性試験結果である。

材料配合と解碎機の回転数は表-1

表-2の試験と同様としたが、ボールはΦ2.3mmのスチールボールを80ないし85kg使用した。Φ50mmの浸透性試験では粘性が10cP未満(B型粘度計)でかつ平均粒径(D_{50})が6.5 μm未満の場合完全浸透した。処理流量は3段階で比較したが流量を下げスラリーの滞留時間を長くすると平均粒径は更に小さくなるが、反面分散化が進んで粘性が増大する。浸透のために粘性は10cP未満を確保する必要があり、その分散剤を増やすことになる。表-4は表-3の結果をグラウタビリティ比の関係で示したものである。表-3の粒度分析はマイクロトラックで測定しており(図-7)，表-1と表-2がレーザー回折による。両者では分布形態が異なり、マイクロトラックでは粗粒分が大き目に出でており、グラウタビリティ比が小さめ目になる。しかし、平均粒径(D_{50})はほぼ変わらない。

4. まとめ&あとがき

グラウト用に微粒子材料をスラリーにする場合、粗大な凝集粒子の発生で浸透性が阻害される。この凝集粒子を分散し浸透性を改善するためには、材料の混合攪拌方法を解碎方式により、かつ分散化に伴う粘性増を分散剤で調整する方法が合理的であることが分った。材料の一次粒子の微粒子性を生かす上でも好ましい。図-8に実施工用のシステム図を示す。

[参考文献]

- 1) 山中 敦・伊藤尚敬(1986): 七ヶ宿ダム軟岩部のグラウチングについて、ダム技術Vol.4-4, pp.88
- 2) 藤野浩一(1987): 軟岩凝灰岩の基礎処理 —屈足ダムの事例— 大ダムNo.120, pp.1-17
- 3) 潤本純也(1990): 只見川ダムの新工法による基礎処理について —ペントナイト混入コンクリート地中壁およびWMCグラウチング— 大ダムNo.132, pp.23
- 4) 田中謙次(1990): セラミックス原料の微粉砕、粉体と工業Vol.22, No.11, pp.41-47
- 5) 山下忠洋(1984): 搅拌型粉砕機と応用機械。日本材料学会粉研シンポジウム講演集
- 6) 寺戸康隆・寺本勝三ほか(1994): 新しいグラウト材の研究開発(その3), 土木学会第49回国次学術講演会講演概要集 pp.90-91

表-2 シリカラライムの注入試験結果(模型地盤: Φ300mm の標準砂、解碎機: VM-5型)

ケ イ ス	水比 W %	解碎 機 L 分	スラリーの物理値		模型地盤の透水性					スラリーの注入実績		
			密度 g/cc	粘性 cP	粒径 μm	間隙率 %	水頭 h cm	単位 滲量 L/分	透水係数 k cm/s	圧力 h m	到達時間 終結注入量 分一秒 L/分 累計量 L	
			ρ	μ	D ₅₀	n	h	L	k	h	分	L
1	300	30	1.16	5.5	6.30	39.2	50	2.23	1.9×10 ⁻²	200	3-00 24分経過後終了	3.89 0.13
						0.89						10.6+
2	200	45	1.23	6.0	6.82	40.9	50	1.84	1.6×10 ⁻²	200	3-30 22-20	1.66 0 8.45
						0.77						

(備考) * 注入速度は本架ではグラウトが到達するまでの注入速度をいう。

【解碎機】 三井鉱山VM-5型(5.5kw, 900rpm, リバッカ+Φ3mm 7.7kg)

【混合方式】 粉体同時混合【混合比】 リバッカ SF: 消石灰CH=1:1, [水比] W/(SF+CH)

【分散剤】 前添加:A剤 0.25%, B剤 2.0%, 後添加:B剤 2.0%.

【模型地盤】 豊浦標準砂: 試料重量: 20.4kg, 試料高さ: ケース1...18.0cm, ケース2...18.5cm

乾燥密度 γ_d : ケース1...1.60g/cm³, ケース2...1.56g/cm³

表-3 速成解碎によるシリカラライムの浸透性(模型地盤: Φ50mm の標準砂、解碎機: VM-5型)

ケ イ ス	水比 W %	処理 流 量 L 分	スラリーの物理値			水の浸透性		スラリーの浸透性		
			液量 kg	密度 kg/m ³	粘性 cP	粒径 D ₅₀ μm	時間 分一秒	浸透速度 v cm/s	時間 分一秒	
			kg	kg/m ³	cP	μm	分一秒	cm/s	分一秒	
1	200	11	80	22	1.22	8.3	6.73	1-51 7.8×10 ⁻²	—	43 X
2	200	6	85	26	—	9.5	6.53	1-40 8.7×10 ⁻²	2-20	100 X
3	200	3	85	29	—	42.0	4.68	1-50 7.9×10 ⁻²	—	76 X
3'	200	3	85	—	—	9.6	—	1-44 8.4×10 ⁻²	1-46	100 X

(備考) 【解碎機】 三井鉱山VM-5型(22kw, 900rpm, リバッカ+Φ2.3mm)

【混合方式】 粉体同時混合【混合比】 リバッカ SF: 消石灰CH=1:1, [水比] W/(SF+CH)

【分散剤】 前添加:A剤 0.25%, B剤 2.0%, 後添加:B剤 2.0%. ただしB剤は更に2.0%追加。

【模型地盤】 豊浦標準砂: 乾燥密度 γ_d =1.65g/cm³, 間隙率n=45%, 相対密度Dr=0.45

試料重量: 250g, 試料高さ: 8.7cm

表-4 速成解碎におけるシリカラライムの粒度特性と浸透性の関係

ケ イ ス	水比 W %	処理 流 量 L 分	スラリーの粒度特性			Φ50mm 浸透性状況			
			D ₅₀ μm	D ₉₀ μm	G ₅₀	透 透 率 %	透 透 速 度 v cm/s		
1	200	11	80	6.73	14.9	21.1	11.4	7.6	43
2	200	6	85	6.53	14.8	20.9	11.5	7.7	100
3	200	3	85	4.68	13.9	20.1	12.2	8.0	100
3'	200	3	85	—	—	—	—	—	—

(備考) 擬似砂の粒度特性: D₅₀=160μm, D₉₀=170μm

浸透率α=浸透量/供試体長, 浸透速度v=浸透量/浸透時間

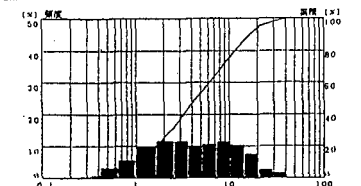


図-7 速成解碎(処理流量 34/L 分)によるシリカラライムスラリーの粒度分布
(測定装置はマイクロトラック使用)

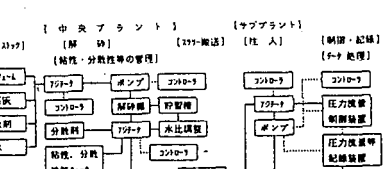


図-8 シリカラライム工法グラウチングシステム図